

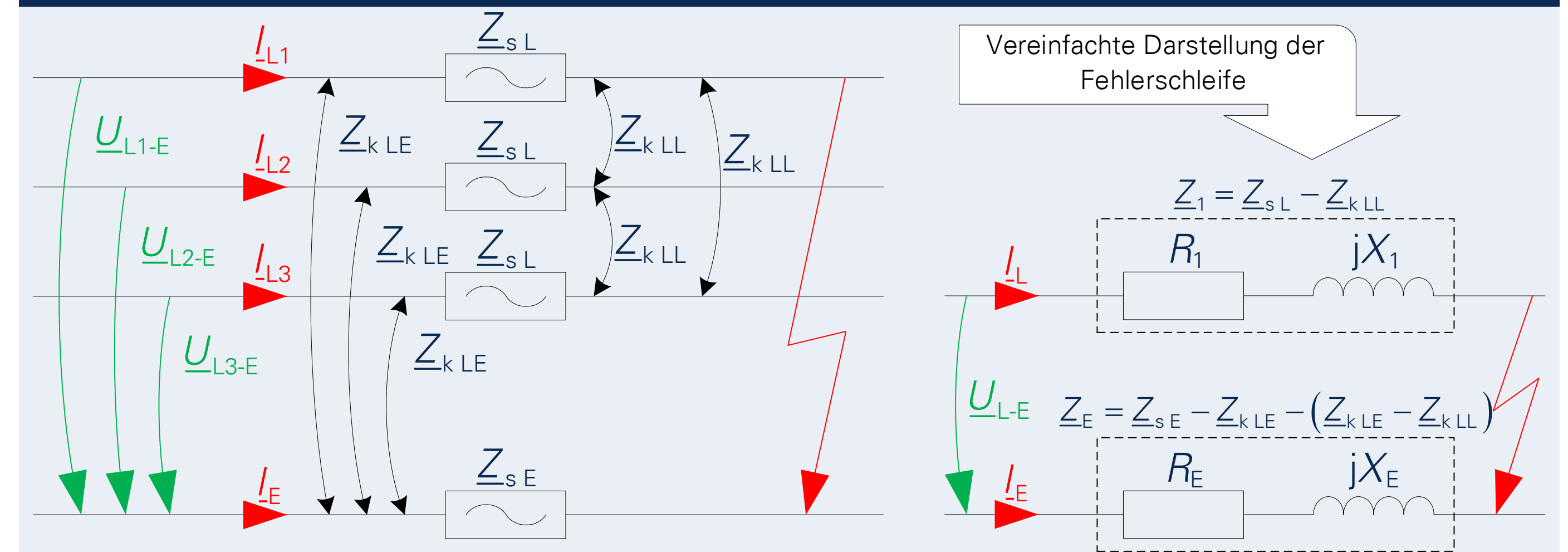
Vergleich und Bewertung der Distanzberechnung für Leiter-Erde-Schleifen (k_E -Faktor)

Carlo Liebermann, Jörg Meyer, Peter Schegner Technische Universität Dresden
Michael Kleemann, Grzegorz Richert Sprecher Automation

Motivation

- Leiter-Erde-Fehler sind die häufigste Fehlerart auf Leitungen
- Schnellstmögliche und selektive Klärung des Fehlers hat oberste Priorität
- Distanzschutz berechnet die Impedanz der Fehlerschleife und bezieht diese auf die Mitimpedanz der Leitung
- Verschiedene Möglichkeiten zur Kompensation der Erdimpedanz Z_E
- Unterschiedliche Ergebnisse bei überlagerten Oberschwingungen, Lichtbogenfehlern und abklingenden Gleichanteilen

Zu berechnende Fehlerschleife



Bestimmung der Schleifenimpedanz – Frequenzbereich: Filteralgorithmen

- Vorteil:** • Berechnung mit komplexen Zeigern von Strom und Spannung **Nachteil:** • Zeitverzögerung durch Eigenzeit des Algorithmus
• Filteralgorithmen sind robust gegenüber Oberschwingungen • Abklingender DC-Anteil im Strom verfälscht Ergebnis

Methode 1f – Mit komplexem k_E - Faktor

Ansatzgleichung
$$U_{L-E} = Z_1 \cdot \left(I_L - \frac{Z_E}{Z_1} \cdot I_E \right) = Z_1 \cdot (I_L - k_E \cdot I_E)$$

Berechnung:
$$Z_1 = \frac{U_{L-E}}{I_L - k_E \cdot I_E}$$

Methode 2f – Durch Trennung der Impedanzen [1]

Ansatzgleichung
$$U_{L-E} = R_1 \cdot \left(I_L - \frac{R_E}{R_1} I_E \right) + jX_1 \cdot \left(I_L - \frac{X_E}{X_1} I_E \right) = R_1 \cdot \underbrace{\left(I_L - k_{RE} \cdot I_E \right)}_{I_R} + jX_1 \cdot \underbrace{\left(I_L - k_{XE} \cdot I_E \right)}_{I_X}$$

Berechnung:
$$R_1 = \frac{\text{Re}\{I_X\} \text{Re}\{U_{L-E}\} + \text{Im}\{I_X\} \text{Im}\{U_{L-E}\}}{\text{Re}\{I_R\} \text{Re}\{I_X\} + \text{Im}\{I_R\} \text{Im}\{I_X\}}$$

$$X_1 = \frac{\text{Re}\{I_R\} \text{Im}\{U_{L-E}\} - \text{Im}\{I_R\} \text{Re}\{U_{L-E}\}}{\text{Re}\{I_R\} \text{Re}\{I_X\} + \text{Im}\{I_R\} \text{Im}\{I_X\}}$$

Bestimmung der Schleifenimpedanz – Zeitbereich: Lösung der Leitungs-Differentialgleichung

- Vorteil:** • Lösung der Leitungs-DGL mit wenigen Abtastwerten möglich **Nachteil:** • Harmonische und Lichtbögen verfälschen Ergebnis
• Größere Flexibilität durch variable Datenfenstergröße • Übertragung des Gleichgliedes im Strom notwendig

Methode 1z – Mit komplexem k_E - Faktor

Ansatzgleichung
$$u_{L-E}(t) = R_1 \cdot i_L(t) + L_1 \cdot \frac{di_L(t)}{dt} - R_E \cdot i_E(t) - L_E \cdot \frac{di_E(t)}{dt}$$

Berechnung:
$$Z_1 = R_1 + j\omega L_1 \text{ mit Dist.-algo } \hat{=} f(u_{L-E}, i_L, i_E, k_E)$$

Methode 2z – Durch Trennung der Impedanzen [1]

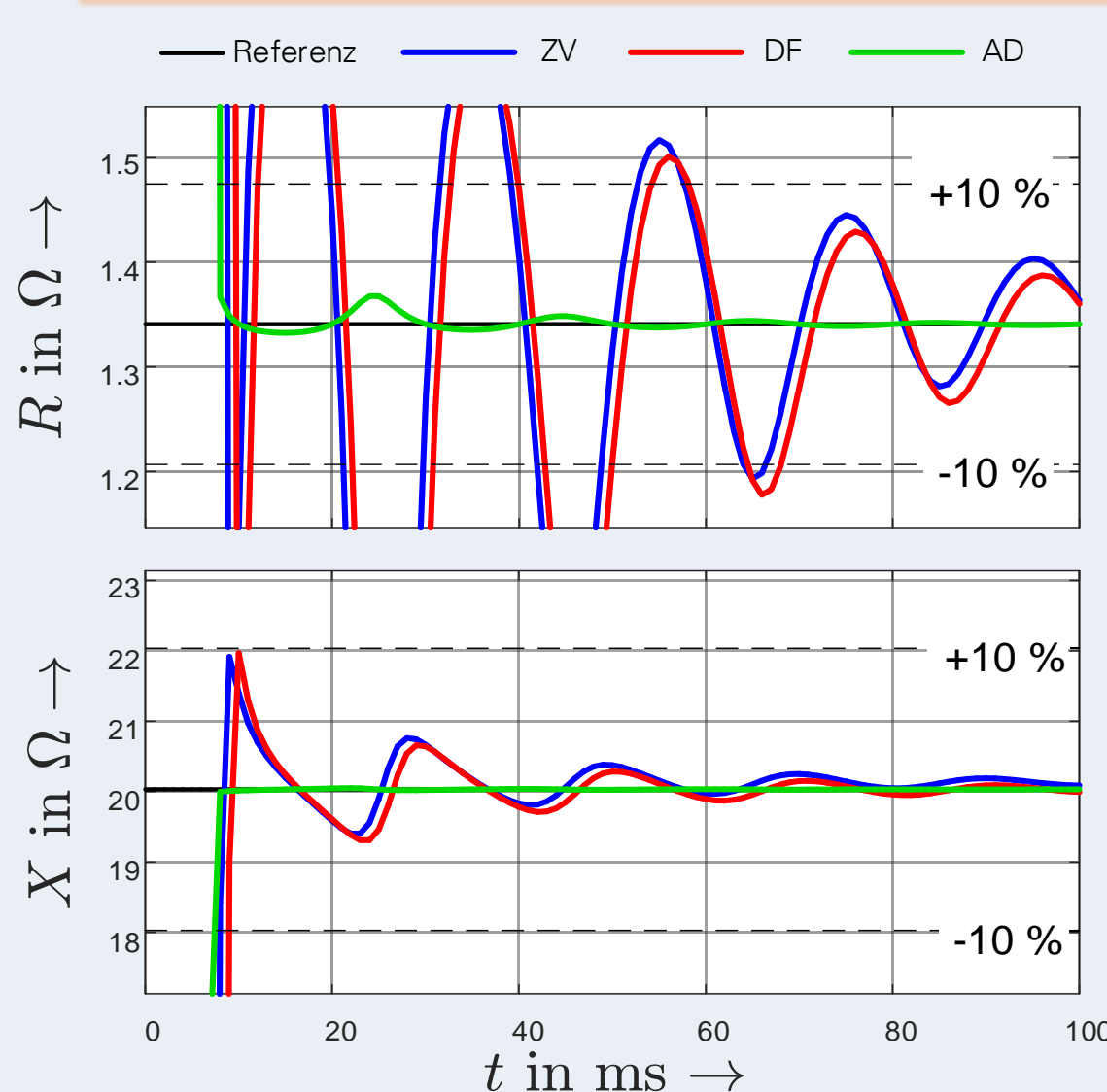
Ansatzgleichung
$$u_{L-E}(t) = R_1 \cdot \left(i_L(t) - \frac{R_E}{R_1} i_E(t) \right) + L_1 \cdot \frac{d}{dt} \left(i_L(t) - \frac{X_E}{X_1} i_E(t) \right) = R_1 \cdot \underbrace{\left(i_L(t) - k_{RE} \cdot i_E(t) \right)}_{i_R(t)} + L_1 \cdot \frac{d}{dt} \underbrace{\left(i_L(t) - k_{XE} \cdot i_E(t) \right)}_{i_X(t)}$$

Berechnung:
$$Z_1 = R_1 + j\omega L_1 \text{ mit Dist.-algo } \hat{=} f(u_{L-E}, i_R, i_X)$$

Berücksichtigung des k_E -Faktors im Zeitbereich

Problem: Berechnung der Schleifenimpedanz mit Abtastwerten und komplexem k_E - Faktor nach **Methode 1z**

Zeitl. Verschiebung (ZV)	Differentiation (DF)	Admittanz (AD) (Neu)
Konventionell: Korrektur vor Impedanzberechnung	Berücksichtigung durch numerische Differentiation	... nach Impedanzberechnung
Zeitliches Verschieben des Momentanwertverlaufes		Berechnung von Admittanzen [2]
$i_{E \text{ KorrZV}}(t) = k_E \cdot i_E(t + \Delta t(k_E))$	$i_{E \text{ KorrDF}}(t) = \text{Re}\{k_E\} \cdot i_E(t) + \frac{\text{Im}\{k_E\}}{\omega} \cdot \frac{di_E(t)}{dt}$	$Z_{1 \text{ AD}} = Y_{1 \text{ AD}} = \frac{I_L}{U_{L-E}} - k_E \cdot \frac{I_E}{U_{L-E}}$
$\Delta t(k_E) = \frac{1}{f_{\text{Abt}}} \cdot \left(\frac{\Delta k_E}{2\pi} \cdot \frac{f_{\text{Abt}}}{f_N} \right)$		$Y_L = Z_L^{-1}$ aus Algo(u_{L-E}, i_L) $Y_E = Z_E^{-1}$ aus Algo(u_{L-E}, i_E)
$Z_{1 \text{ ZV/DF}} = R_1 + j\omega L_1 \text{ mit Dist.-algo } \hat{=} f(u_{L-E}, i_L, i_E \text{ Korr 1,2})$		$Z_{1 \text{ AD}} = (Y_L - k_E \cdot Y_E)^{-1}$



	ZV	DF	AD
Oberschwingungen Verstärkter Einfluss auf die Impedanzberechnung	Ja	Ja	Nein
Abklingender Gleichanteil Einfluss durch DC-Anteil im Strom auf die Impedanzberechnung	Ja	Ja	Nein
Zeitliche Verzögerung durch Implementierung	Ja/Nein	Ja/Nein	Nein

Diff.-quotient: Vorwärts oder Zentral Rückwärts

Fehler mit Lichtbogenwiderstand

Bei Lichtbogenfehlern mit zusätzlichem Widerstand R_{LB} in der Fehlermasche treten bei beiden Methoden Abweichungen zur Mitimpedanz der Leitung auf

$Z_{\text{Mess}} = Z_1 + \Delta R + j\Delta X$

	Methode 1	Methode 2
$\Delta R =$	$\text{Re} \left\{ R_{LB} \cdot \frac{I_L}{I_L - k_E \cdot I_E} \right\}$	$R_{LB} \cdot \frac{(X_1 + X_E) \cdot I_L ^2}{X_1 \cdot (\text{Re}\{I_R\} \cdot \text{Re}\{I_X\} + \text{Im}\{I_R\} \cdot \text{Im}\{I_X\})}$
$\Delta X =$	$\text{Im} \left\{ R_{LB} \cdot \frac{I_L}{I_L - k_E \cdot I_E} \right\}$	0
	Verfälschung in R- und X- Richtung (abhängig vom Winkel des k_E -Faktors)	Verfälschung nur in R- Richtung

Literatur

- [1] G. Ziegler, Digitaler Distanzschutz Grundlagen und Anwendungen; SIEMENS AG, Berlin und München; Verlag: Publicis Corporate Publishing, Erlangen, 2008
- [2] Sprecher Automation GmbH, Erfinder: Carlo Liebermann, Jörg Meyer und Michael Kleemann, „Verfahren zur Steuerung eines Distanzschutzrelais durch Erkennung von Leiter-Erde-Fehlern.“ Österreichisches Patent A 50107/2017, Angemeldet am: 09.02.2017